

# Implementación de un método de programación semidefinida usando computación paralela

Oscar Francisco Peredo Andrade

Presentación para optar al Título de Ingeniero Civil Matemático  
Facultad de Ciencias Físicas y Matemáticas, Universidad de Chile

3 de Junio de 2010

# Esquema

---

## Introducción

## Antecedentes

- Programación semidefinida lineal (SDP)

- Filter-SDP

- Computación paralela

## Trabajo realizado

- Estudio de sistemas de cálculo paralelo

- Implementación en C: `fnlsdp`

- Diseño de distintas fases de restauración

## Resultados numéricos

## Conclusiones

## Trabajo futuro



# Esquema

---

## Introducción

### Antecedentes

Programación semidefinida lineal (SDP)

Filter-SDP

Computación paralela

### Trabajo realizado

Estudio de sistemas de cálculo paralelo

Implementación en C: `fnlsdp`

Diseño de distintas fases de restauración

### Resultados numéricos

### Conclusiones

### Trabajo futuro



# Motivación

---



# Motivación

---

- Experimentar el proceso de desarrollo de una aplicación científica desde su **diseño**, realizado en sistemas de alto nivel (*MATLAB*), hasta su **implementación basada en cálculo paralelo**, realizada en sistemas de bajo nivel (*C*).



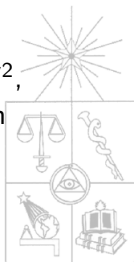
# Motivación

---

- Experimentar el proceso de desarrollo de una aplicación científica desde su **diseño**, realizado en sistemas de alto nivel (*MATLAB*), hasta su **implementación basada en cálculo paralelo**, realizada en sistemas de bajo nivel (*C*).
- Resolver un problema de programación semidefinida no lineal:

$$\begin{array}{ll} \min_{x \in \mathbb{R}^n} & f(x) \\ \text{s.a} & h(x) = 0 \\ & G(x) \preceq 0 \end{array} \quad (1)$$

donde  $f : \mathbb{R}^n \rightarrow \mathbb{R}$ ,  $h : \mathbb{R}^n \rightarrow \mathbb{R}^p$  y  $G : \mathbb{R}^n \rightarrow \mathbb{S}^m$  son clase  $C^2$ , usando una versión del algoritmo **Filter-SDP** desarrollado en [GR06].



# Objetivos

---



# Objetivos

---

- Estudio de herramientas de cálculo paralelo aplicables en el algoritmo **Filter-SDP**.





# Objetivos

---

- Estudio de herramientas de cálculo paralelo aplicables en el algoritmo **Filter-SDP**.
- Implementación del algoritmo **Filter-SDP** utilizando C.



# Objetivos

---

- Estudio de herramientas de cálculo paralelo aplicables en el algoritmo **Filter-SDP**.
- Implementación del algoritmo **Filter-SDP** utilizando C.
- Diseño de nuevas **fases de restauración** para el algoritmo **Filter-SDP** utilizando MATLAB.



# Objetivos

---

- Estudio de herramientas de cálculo paralelo aplicables en el algoritmo **Filter-SDP**.
- Implementación del algoritmo **Filter-SDP** utilizando C.
- Diseño de nuevas **fases de restauración** para el algoritmo **Filter-SDP** utilizando MATLAB.
- Realización de pruebas numéricas (implementación C y nuevas fases de restauración).



# Esquema

---

## Introducción

## Antecedentes

Programación semidefinida lineal (SDP)

Filter-SDP

Computación paralela

## Trabajo realizado

Estudio de sistemas de cálculo paralelo

Implementación en C: `fnlsdp`

Diseño de distintas fases de restauración

## Resultados numéricos

## Conclusiones

## Trabajo futuro



# Esquema

---

## Introducción

## Antecedentes

Programación semidefinida lineal (SDP)

Filter-SDP

Computación paralela

## Trabajo realizado

Estudio de sistemas de cálculo paralelo

Implementación en C: `fnlsdp`

Diseño de distintas fases de restauración

## Resultados numéricos

## Conclusiones

## Trabajo futuro



# Programación semidefinida lineal (SDP)

---



# Programación semidefinida lineal (SDP)

---

Formulación primal ([VB96]):

$$\begin{aligned} \min_{x \in \mathbb{R}^m} \quad & c^T x \\ \text{s.a} \quad & F_0 + \sum_{i=1}^m x_i F_i \succeq 0 \end{aligned} \tag{2}$$

con  $c \in \mathbb{R}^m$  y  $F_0, \dots, F_n \in \mathbb{S}^n$ .



# Programación semidefinida lineal (SDP)

---

Formulación primal ([VB96]):

$$\begin{aligned} \min_{x \in \mathbb{R}^m} \quad & c^T x \\ \text{s.a} \quad & F_0 + \sum_{i=1}^m x_i F_i \succeq 0 \end{aligned} \tag{2}$$

con  $c \in \mathbb{R}^m$  y  $F_0, \dots, F_n \in \mathbb{S}^n$ .

Formulación dual:

$$\begin{aligned} \max_{Z \in \mathbb{S}^n} \quad & -\text{Tr}(F_0 Z) \\ \text{s.a} \quad & \text{Tr}(F_i Z) = c_i, \quad i = 1, \dots, m \\ & Z \succeq 0 \end{aligned}$$



(3)



# Programación semidefinida: aplicaciones

---



# Programación semidefinida: aplicaciones

---

El problema de **programación lineal**:

$$\begin{array}{ll} \min_{x \in \mathbb{R}^n} & c^T x \\ \text{s.a} & Ax + b \geq 0 \end{array} \quad (4)$$



# Programación semidefinida: aplicaciones

---

El problema de **programación lineal**:

$$\begin{array}{ll} \min_{x \in \mathbb{R}^n} & c^T x \\ \text{s.a} & Ax + b \geq 0 \end{array} \quad (4)$$

tiene una formulación SDP:



# Programación semidefinida: aplicaciones

---

El problema de **programación lineal**:

$$\begin{array}{ll}\min_{x \in \mathbb{R}^n} & c^T x \\ \text{s.a} & Ax + b \geq 0\end{array} \quad (4)$$

tiene una formulación SDP:

$$\begin{array}{ll}\min_{x \in \mathbb{R}^n} & c^T x \\ \text{s.a} & \text{diag}(Ax + b) \succeq 0\end{array} \quad (5)$$



# Programación semidefinida: aplicaciones

El problema de **programación lineal**:

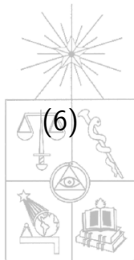
$$\begin{array}{ll}\min_{x \in \mathbb{R}^n} & c^T x \\ \text{s.a.} & Ax + b \geq 0\end{array} \quad (4)$$

tiene una formulación SDP:

$$\begin{array}{ll}\min_{x \in \mathbb{R}^n} & c^T x \\ \text{s.a.} & \text{diag}(Ax + b) \succeq 0\end{array} \quad (5)$$

o equivalentemente:

$$\begin{array}{ll}\min_{x \in \mathbb{R}^n} & c^T x \\ \text{s.a.} & \underbrace{\text{diag}(b)}_{F_0} + \sum_{i=1}^n x_i \underbrace{\text{diag}(A_{:,i})}_{F_i} \succeq 0\end{array}$$



(6)

# Programación semidefinida: aplicaciones

---



# Programación semidefinida: aplicaciones

---

El problema de **programación cuadrática convexa** también se puede formular como SDP.



# Programación semidefinida: aplicaciones

---

El problema de **programación cuadrática convexa** también se puede formular como SDP. Para  $c \in \mathbb{R}^n$ ,  $b, g \in \mathbb{R}^m$ ,  $d \in \mathbb{R}$ ,  $A, H \in \mathbb{R}^{m \times n}$ :





# Programación semidefinida: aplicaciones

---

El problema de **programación cuadrática convexa** también se puede formular como SDP. Para  $c \in \mathbb{R}^n$ ,  $b, g \in \mathbb{R}^m$ ,  $d \in \mathbb{R}$ ,  $A, H \in \mathbb{R}^{m \times n}$ :

$$\begin{array}{ll} \min_{x \in \mathbb{R}^n} & (Ax + b)^T (Ax + b) - c^T x - d \\ \text{s.a} & Hx + g \geq 0 \end{array} \quad (7)$$



## Programación semidefinida: aplicaciones

El problema de **programación cuadrática convexa** también se puede formular como SDP. Para  $c \in \mathbb{R}^n$ ,  $b, g \in \mathbb{R}^m$ ,  $d \in \mathbb{R}$ ,  $A, H \in \mathbb{R}^{m \times n}$ :

$$\begin{array}{ll} \min_{x \in \mathbb{R}^n} & (Ax + b)^T (Ax + b) - c^T x - d \\ \text{s.a} & Hx + g \geq 0 \end{array} \quad (7)$$

Equivalentemente:

$$\begin{array}{ll} \min_{x \in \mathbb{R}^n, t \in \mathbb{R}} & t \\ \text{s.a} & (Ax + b)^T (Ax + b) - c^T x - d \leq t \\ & Hx + g \geq 0 \end{array} \quad (8)$$



## Programación semidefinida: aplicaciones

El problema de **programación cuadrática convexa** también se puede formular como SDP. Para  $c \in \mathbb{R}^n$ ,  $b, g \in \mathbb{R}^m$ ,  $d \in \mathbb{R}$ ,  $A, H \in \mathbb{R}^{m \times n}$ :

$$\begin{array}{ll} \min_{x \in \mathbb{R}^n} & (Ax + b)^T (Ax + b) - c^T x - d \\ \text{s.a} & Hx + g \geq 0 \end{array} \quad (7)$$

Equivalentemente:

$$\begin{array}{ll} \min_{x \in \mathbb{R}^n, t \in \mathbb{R}} & t \\ \text{s.a} & (Ax + b)^T (Ax + b) - c^T x - d \leq t \\ & Hx + g \geq 0 \end{array} \quad (8)$$

y utilizando el complemento de Schur ([► Ir a Apéndice](#)) se tiene:



## Programación semidefinida: aplicaciones

El problema de **programación cuadrática convexa** también se puede formular como SDP. Para  $c \in \mathbb{R}^n$ ,  $b, g \in \mathbb{R}^m$ ,  $d \in \mathbb{R}$ ,  $A, H \in \mathbb{R}^{m \times n}$ :

$$\begin{aligned} \min_{x \in \mathbb{R}^n} \quad & (Ax + b)^T (Ax + b) - c^T x - d \\ \text{s.a.} \quad & Hx + g \geq 0 \end{aligned} \tag{7}$$

Equivalentemente:

$$\begin{aligned} \min_{x \in \mathbb{R}^n, t \in \mathbb{R}} \quad & t \\ \text{s.a.} \quad & (Ax + b)^T (Ax + b) - c^T x - d \leq t \\ & Hx + g \geq 0 \end{aligned} \tag{8}$$

y utilizando el complemento de Schur ([► Ir a Apéndice](#)) se tiene:

$$\begin{aligned} \min_{x \in \mathbb{R}^n, t \in \mathbb{R}} \quad & t \\ \text{s.a.} \quad & \begin{bmatrix} I_{m \times m} & Ax + b \\ (Ax + b)^T & c^T x + d + t \end{bmatrix} \succeq 0 \\ & \text{diag}(Hx + g) \succeq 0 \end{aligned} \tag{9}$$



# Programación semidefinida: métodos de resolución

---



# Programación semidefinida: métodos de resolución

---

- Punto interior



# Programación semidefinida: métodos de resolución

---

- Punto interior
- Paquete o haz espectral (*bundle methods*)



# Programación semidefinida: métodos de resolución

---

- Punto interior
- Paquete o haz espectral (*bundle methods*)





# Esquema

---

## Introducción

## Antecedentes

Programación semidefinida lineal (SDP)

Filter-SDP

Computación paralela

## Trabajo realizado

Estudio de sistemas de cálculo paralelo

Implementación en C: `fnlsdp`

Diseño de distintas fases de restauración

## Resultados numéricos

## Conclusiones

## Trabajo futuro



# Filter-SDP

---



# Filter-SDP

---

- Algoritmo desarrollado por Gómez & Ramirez [GR06] para resolver problemas del tipo:

$$\begin{array}{ll} \min_{x \in \mathbb{R}^n} & f(x) \\ \text{s.a} & h(x) = 0 \\ & G(x) \preceq 0 \end{array} \quad (10)$$



# Filter-SDP

---

- Algoritmo desarrollado por Gómez & Ramirez [GR06] para resolver problemas del tipo:

$$\begin{array}{ll} \min_{x \in \mathbb{R}^n} & f(x) \\ \text{s.a} & h(x) = 0 \\ & G(x) \preceq 0 \end{array} \quad (10)$$

- Basado en el algoritmo de *filter-SQP*, desarrollado en [FGLT01] para resolver problemas de programación no lineal.



# Filter-SDP

---

- Algoritmo desarrollado por Gómez & Ramirez [GR06] para resolver problemas del tipo:

$$\begin{array}{ll} \min_{x \in \mathbb{R}^n} & f(x) \\ \text{s.a} & h(x) = 0 \\ & G(x) \preceq 0 \end{array} \quad (10)$$

- Basado en el algoritmo de *filter-SQP*, desarrollado en [FGLT01] para resolver problemas de programación no lineal.
- Principales aspectos: utilización de un *filtro*, resolución de un *problema tangencial cuadrático* y desarrollo de una *fase de restauración*.



# Filter-SDP: filtro

---



## Filter-SDP: filtro

---

- Idea central: utilizar un enfoque multiobjetivo, donde se minimice la función objetivo  $f(x)$  y una función de mérito  $\theta(x)$ , que cuantifica la factibilidad de un punto, donde:

$$\theta(x) = \|h(x)\|_2 + \max\{0, \lambda_1(G(x))\} \quad (11)$$



# Filter-SDP: filtro

---

- Idea central: utilizar un enfoque multiobjetivo, donde se minimice la función objetivo  $f(x)$  y una función de mérito  $\theta(x)$ , que cuantifica la factibilidad de un punto, donde:

$$\theta(x) = \|h(x)\|_2 + \max\{0, \lambda_1(G(x))\} \quad (11)$$

- El filtro  $\mathcal{F} = \{(\theta(x_i), f(x_i))\}_{i=1}^n$  almacena información de puntos que **no se dominan** entre si:

$$x_k \text{ domina a } x_p \Leftrightarrow f(x_k) \leq f(x_p) \text{ y } \theta(x_k) \leq \theta(x_p)$$





# Filter-SDP: filtro

---

- Idea central: utilizar un enfoque multiobjetivo, donde se minimice la función objetivo  $f(x)$  y una función de mérito  $\theta(x)$ , que cuantifica la factibilidad de un punto, donde:

$$\theta(x) = \|h(x)\|_2 + \max\{0, \lambda_1(G(x))\} \quad (11)$$

- El filtro  $\mathcal{F} = \{(\theta(x_i), f(x_i))\}_{i=1}^n$  almacena información de puntos que **no se dominan** entre si:

$$x_k \text{ domina a } x_p \Leftrightarrow f(x_k) \leq f(x_p) \text{ y } \theta(x_k) \leq \theta(x_p)$$

- Se utiliza como criterio para escoger nuevos puntos  $x_k$  de la sucesión convergente (salvo subsucesiones) al óptimo (local).



## Filter-SDP: filtro

- Idea central: utilizar un enfoque multiobjetivo, donde se minimice la función objetivo  $f(x)$  y una función de mérito  $\theta(x)$ , que cuantifica la factibilidad de un punto, donde:

$$\theta(x) = \|h(x)\|_2 + \max\{0, \lambda_1(G(x))\} \quad (11)$$

- El filtro  $\mathcal{F} = \{(\theta(x_i), f(x_i))\}_{i=1}^n$  almacena información de puntos que **no se dominan** entre si:

$$x_k \text{ domina a } x_p \Leftrightarrow f(x_k) \leq f(x_p) \text{ y } \theta(x_k) \leq \theta(x_p)$$

- Se utiliza como criterio para escoger nuevos puntos  $x_k$  de la sucesión convergente (salvo subsucesiones) al óptimo (local).
- Todos los puntos  $x_k$  que se guarden en el filtro deben ser **aceptables**:

$\bar{x}$  es aceptable por  $\mathcal{F}$

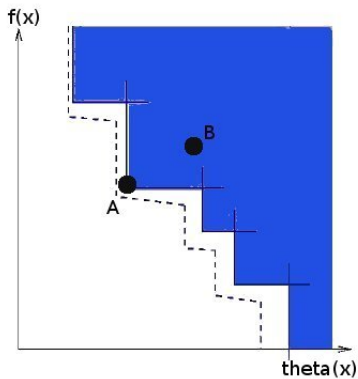
$\Leftrightarrow$

$$\forall i \in \{1, \dots, n\} : \theta(\bar{x}) \leq \beta\theta(x_i) \text{ ó } f(\bar{x}) + \gamma\theta(\bar{x}) \leq f(x_i)$$



# Filter-SDP: filtro

---

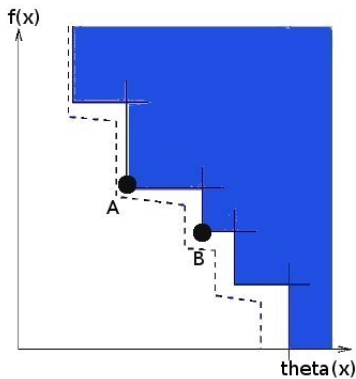


*A domina a B*



# Filter-SDP: filtro

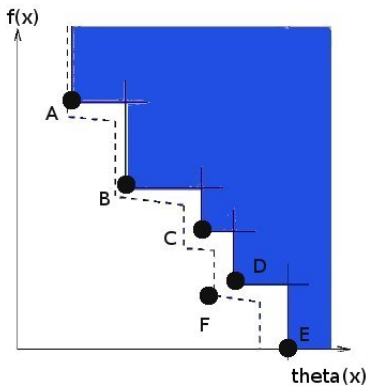
---



$A$  no domina a  $B$



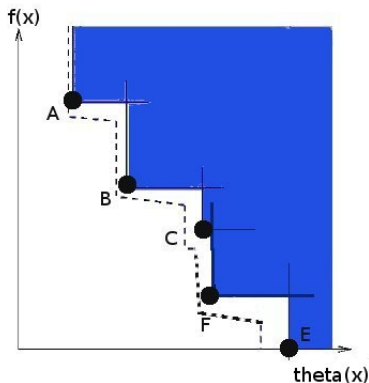
# Filter-SDP: filtro



$F$  es aceptable por el filtro  $\{A, B, C, D, E\}$



## Filter-SDP: filtro



Agregar punto  $F$  al filtro  
 $\{A, B, C, D, E\}$ .

Nuevo filtro:  $\{A, B, C, F, E\}$



# Filter-SDP: problema tangencial cuadrático

---



# Filter-SDP: problema tangencial cuadrático

---

En cada iteración del algoritmo, un punto  $x_{k+1} = x_k + d_k$  se contruye utilizando la solución  $d_k$  de un problema tangencial cuadrático (*trust region local semidefinite approximation*), asociado al punto  $x_k$  y a un radio  $\rho$ :





## Filter-SDP: problema tangencial cuadrático

---

En cada iteración del algoritmo, un punto  $x_{k+1} = x_k + d_k$  se contruye utilizando la solución  $d_k$  de un problema tangencial cuadrático (*trust region local semidefinite approximation*), asociado al punto  $x_k$  y a un radio  $\rho$ :

$$\begin{aligned} QP(x, \rho) : \quad & \min_{d \in \mathbb{R}^n} \quad \nabla f(x)d + \frac{1}{2}d^T B d \\ & s.a. \quad h(x) + Dh(x)d = 0 \\ & \quad \quad G(x) + DG(x)d \preceq 0 \\ & \quad \quad \|d\|_\infty \leq \rho \end{aligned}$$



# Filter-SDP: fase de restauración

---



# Filter-SDP: fase de restauración

---

La fase de restauración tiene como objetivo generar un punto  $x_k$  que cumpla con las siguientes condiciones:



# Filter-SDP: fase de restauración

---

La fase de restauración tiene como objetivo generar un punto  $x_k$  que cumpla con las siguientes condiciones:

**A1**  $(\theta(x_k), f(x_k))$  es aceptable para el filtro  $\mathcal{F}^{k-1}$ .

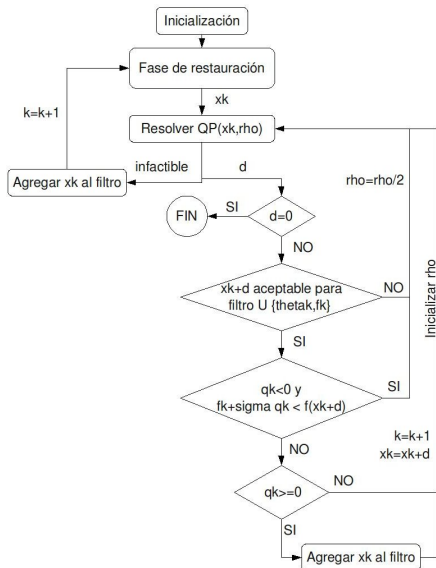
**B1**  $QP(x_k, \rho)$  es factible.

donde  $\mathcal{F}^{k-1}$  es el filtro obtenido de la iteración anterior y  $\theta(x)$  es la función de mérito escogida.



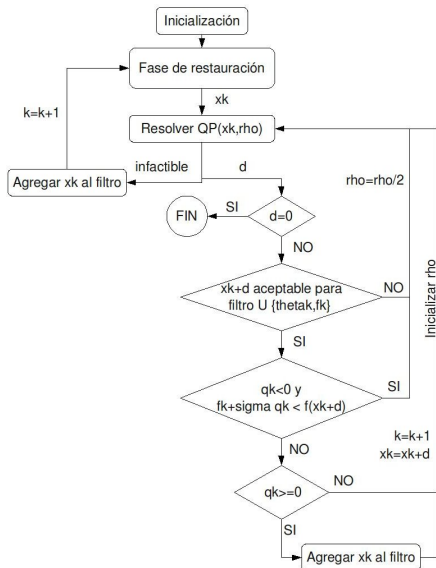
# Filter-SDP: algoritmo

► Ir a pseudocódigo



# Filter-SDP: algoritmo

► Ir a pseudocódigo



# Esquema

---

## Introducción

## Antecedentes

Programación semidefinida lineal (SDP)

Filter-SDP

Computación paralela

## Trabajo realizado

Estudio de sistemas de cálculo paralelo

Implementación en C: `fnlsdp`

Diseño de distintas fases de restauración

## Resultados numéricos

## Conclusiones

## Trabajo futuro



# Computación paralela

---





# Computación paralela

---

- Situación en la que al menos 2 procesadores cooperan intercambiando información mientras trabajan en diferentes partes de uno o más problemas.



# Computación paralela

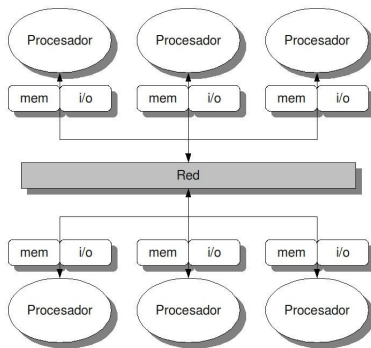
---

- Situación en la que al menos 2 procesadores cooperan intercambiando información mientras trabajan en diferentes partes de uno o más problemas.
- Diferentes clasificaciones según: número de procesadores, acceso a la memoria, redes que comunican a los procesadores, I/O, etc.



# Computación paralela

- Situación en la que al menos 2 procesadores cooperan intercambiando información mientras trabajan en diferentes partes de uno o más problemas.
- Diferentes clasificaciones según: número de procesadores, acceso a la memoria, redes que comunican a los procesadores, I/O, etc.
- En este trabajo se estudiaron sistemas que funcionan en arquitecturas de **memoria distribuída**:



# Computación paralela: aspectos paralelizables de Filter-SDP

---



# Computación paralela: aspectos paralelizables de Filter-SDP

---

- Cálculo de  $\theta(x)$



# Computación paralela: aspectos paralelizables de Filter-SDP

---

- Cálculo de  $\theta(x)$
- Resolución de  $QP(x, \rho)$



# Computación paralela: aspectos paralelizables de Filter-SDP

---

- Cálculo de  $\theta(x)$
- Resolución de  $QP(x, \rho)$
- Otras operaciones algebraicas



# Computación paralela: aspectos paralelizables de Filter-SDP

---

- Cálculo de  $\theta(x)$
- Resolución de  $QP(x, \rho)$
- Otras operaciones algebraicas





# Esquema

---

## Introducción

## Antecedentes

Programación semidefinida lineal (SDP)

Filter-SDP

Computación paralela

## Trabajo realizado

Estudio de sistemas de cálculo paralelo

Implementación en C: `fnlsdp`

Diseño de distintas fases de restauración

## Resultados numéricos

## Conclusiones

## Trabajo futuro



# Esquema

---

## Introducción

## Antecedentes

Programación semidefinida lineal (SDP)

Filter-SDP

Computación paralela

## Trabajo realizado

Estudio de sistemas de cálculo paralelo

Implementación en C: `fnlsdp`

Diseño de distintas fases de restauración

## Resultados numéricos

## Conclusiones

## Trabajo futuro



# Estudio de sistemas de cálculo paralelo

---



# Estudio de sistemas de cálculo paralelo

---

- ScaLAPACK: *Scalable Linear Algebra Package*



# Estudio de sistemas de cálculo paralelo

---

- ScaLAPACK: *Scalable Linear Algebra Package*
- PCSDP: *C Library for Parallel Linear Semidefinite Programming*

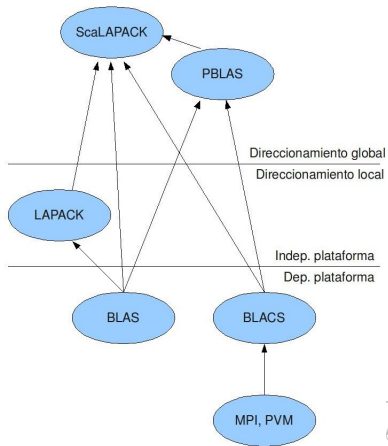


# ScaLAPACK

---

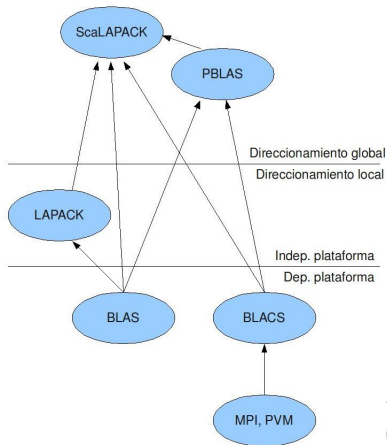


# ScaLAPACK



# ScaLAPACK

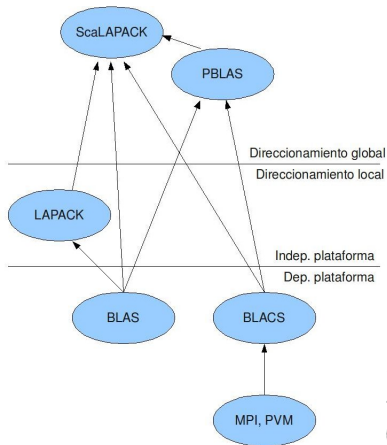
- Estudio de las librerías básicas: BLAS, LAPACK, BLACS, PBLAS.





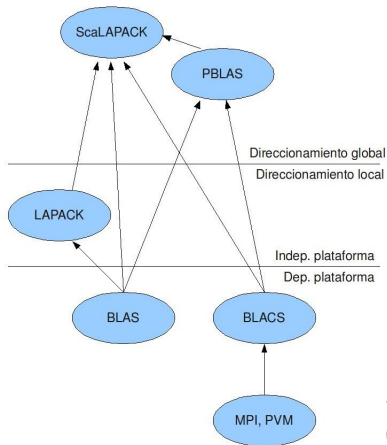
# ScaLAPACK

- Estudio de las librerías básicas: BLAS, LAPACK, BLACS, PBLAS.
- *Intel Math Kernel Library.*



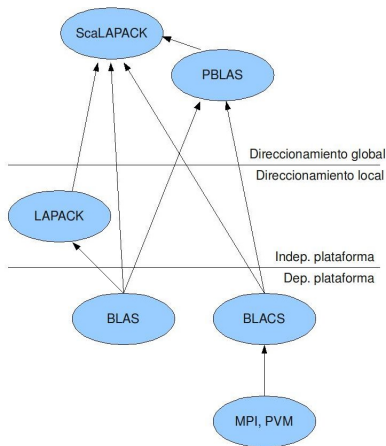
# ScaLAPACK

- Estudio de las librerías básicas: BLAS, LAPACK, BLACS, PBLAS.
- *Intel Math Kernel Library.*
- DGEMM, PDPOTRF, PDPOTRS y PDSYEVX.



# ScaLAPACK

- Estudio de las librerías básicas: BLAS, LAPACK, BLACS, PBLAS.
- *Intel Math Kernel Library*.
- DGEMM, PDPOTRF, PDPOTRS y PDSYEVX.
- Se generó una documentación con ejemplos simples para instalar, conectar y utilizar esta librería.



# PCSDP

---



# PCSDP

---

- CSDP: librería/solver (FLOSS) para SDP desarrollada por B. Borchers, U. New Mexico ([Bor99]).



# PCSDP

---

- CSDP: librería/solver (FLOSS) para SDP desarrollada por B. Borchers, U. New Mexico ([Bor99]).
- PCSDP: librería/solver (FLOSS) basado en CSDP, desarrollado para sistemas de memoria distribuída (Beowulf) por Ivan Ivanov, TU Delft ([IK07]).



# PCSDP

---

- CSDP: librería/solver (FLOSS) para SDP desarrollada por B. Borchers, U. New Mexico ([Bor99]).
- PCSDP: librería/solver (FLOSS) basado en CSDP, desarrollado para sistemas de memoria distribuída (Beowulf) por Ivan Ivanov, TU Delft ([IK07]).
- Utilización de ScaLAPACK para operaciones algebraicas.



# PCSDP

---

- CSDP: librería/solver (FLOSS) para SDP desarrollada por B. Borchers, U. New Mexico ([Bor99]).
- PCSDP: librería/solver (FLOSS) basado en CSDP, desarrollado para sistemas de memoria distribuída (Beowulf) por Ivan Ivanov, TU Delft ([IK07]).
- Utilización de ScaLAPACK para operaciones algebraicas.
- Claridad en el código, además de reutilización de rutinas.





# PCSDP

---

- CSDP: librería/solver (FLOSS) para SDP desarrollada por B. Borchers, U. New Mexico ([Bor99]).
- PCSDP: librería/solver (FLOSS) basado en CSDP, desarrollado para sistemas de memoria distribuída (Beowulf) por Ivan Ivanov, TU Delft ([IK07]).
- Utilización de ScaLAPACK para operaciones algebraicas.
- Claridad en el código, además de reutilización de rutinas.
- Se utiliza para resolver  $QP(x, \rho)$ .



# Esquema

---

## Introducción

## Antecedentes

Programación semidefinida lineal (SDP)

Filter-SDP

Computación paralela

## Trabajo realizado

Estudio de sistemas de cálculo paralelo

Implementación en C: `fnlsdp`

Diseño de distintas fases de restauración

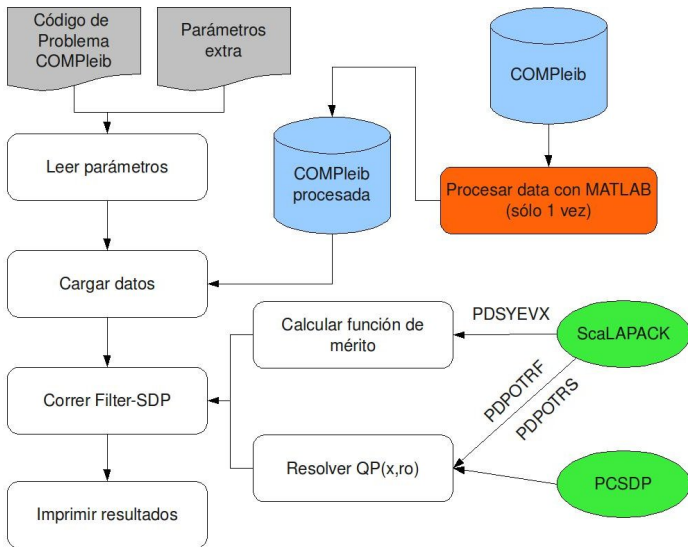
## Resultados numéricos

## Conclusiones

## Trabajo futuro



# fnlsdp



# Esquema

---

## Introducción

## Antecedentes

Programación semidefinida lineal (SDP)

Filter-SDP

Computación paralela

## Trabajo realizado

Estudio de sistemas de cálculo paralelo

Implementación en C: `fnlsdp`

Diseño de distintas fases de restauración

## Resultados numéricos

## Conclusiones

## Trabajo futuro



# Diseño de distintas fases de restauración

---



# Diseño de distintas fases de restauración

---

- Fase de restauración: encontrar  $x_k$  que satisface A1 y B1.
  - A1**  $(\theta(x_k), f(x_k))$  es aceptable para el filtro  $\mathcal{F}^{k-1}$ .
  - B1**  $QP(x_k, \rho)$  es factible.



# Diseño de distintas fases de restauración

---

- Fase de restauración: encontrar  $x_k$  que satisface A1 y B1.
  - A1**  $(\theta(x_k), f(x_k))$  es aceptable para el filtro  $\mathcal{F}^{k-1}$ .
  - B1**  $QP(x_k, \rho)$  es factible.
- Enfoques estudiados:



# Diseño de distintas fases de restauración

---

- Fase de restauración: encontrar  $x_k$  que satisface A1 y B1.
  - A1**  $(\theta(x_k), f(x_k))$  es aceptable para el filtro  $\mathcal{F}^{k-1}$ .
  - B1**  $QP(x_k, \rho)$  es factible.
- Enfoques estudiados:
  - Enfoque original (implementación MATLAB)





# Diseño de distintas fases de restauración

---

- Fase de restauración: encontrar  $x_k$  que satisface A1 y B1.
  - A1**  $(\theta(x_k), f(x_k))$  es aceptable para el filtro  $\mathcal{F}^{k-1}$ .
  - B1**  $QP(x_k, \rho)$  es factible.
- Enfoques estudiados:
  - Enfoque original (implementación MATLAB)
  - Restauración inexacta



# Diseño de distintas fases de restauración

---

- Fase de restauración: encontrar  $x_k$  que satisface A1 y B1.

**A1**  $(\theta(x_k), f(x_k))$  es aceptable para el filtro  $\mathcal{F}^{k-1}$ .

**B1**  $QP(x_k, \rho)$  es factible.

- Enfoques estudiados:

- Enfoque original (implementación MATLAB)
- Restauración inexacta
- Soluciones suboptimales SOF (*Static Output Feedback*)



# Diseño de distintas fases de restauración

---

- Fase de restauración: encontrar  $x_k$  que satisface A1 y B1.

**A1**  $(\theta(x_k), f(x_k))$  es aceptable para el filtro  $\mathcal{F}^{k-1}$ .

**B1**  $QP(x_k, \rho)$  es factible.

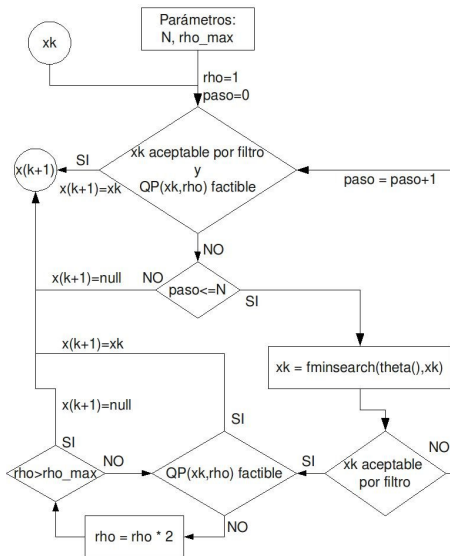
- Enfoques estudiados:

- Enfoque original (implementación MATLAB)
- Restauración inexacta
- Soluciones suboptimales SOF (*Static Output Feedback*)
- Posicionamiento de polos



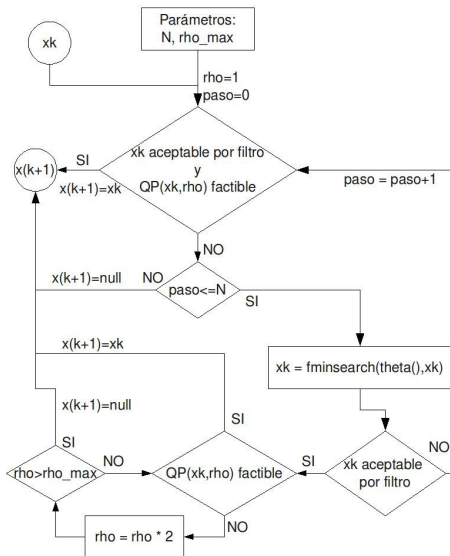
# Enfoque original

► Ir a pseudocódigo



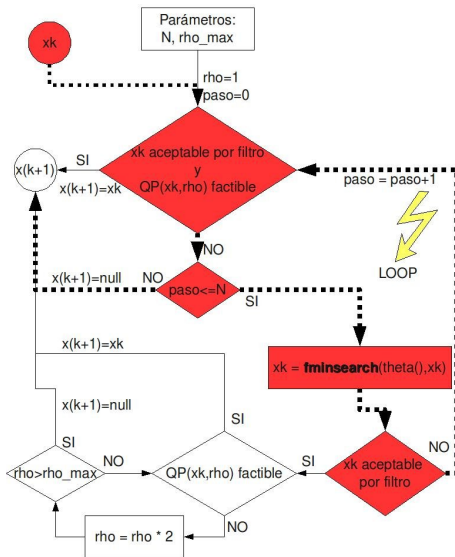
# Enfoque original

► Ir a pseudocódigo



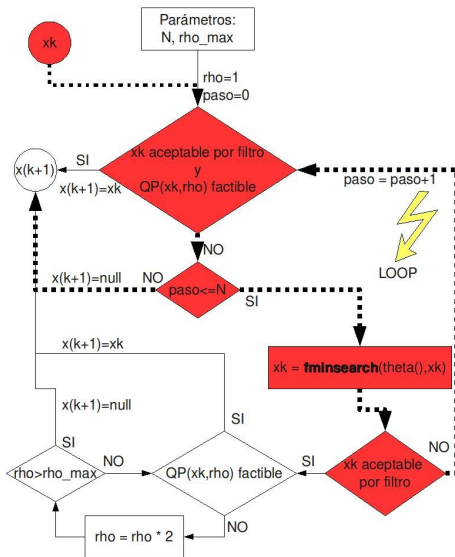
# Enfoque original

► Ir a pseudocódigo



# Enfoque original

► Ir a pseudocódigo



# Restauración inexacta

---





# Restauración inexacta

---

- Método desarrollado en [SM08] para programación no lineal, que utiliza 2 fases: factibilidad y optimalidad.



# Restauración inexacta

---

- Método desarrollado en [SM08] para programación no lineal, que utiliza 2 fases: factibilidad y optimalidad.
- Etapa de factibilidad entrega una **dirección de descenso para  $\theta(x)$** .



# Restauración inexacta

- Método desarrollado en [SM08] para programación no lineal, que utiliza 2 fases: factibilidad y optimalidad.
- Etapa de factibilidad entrega una **dirección de descenso para  $\theta(x)$** .
- Se adaptó la etapa de factibilidad para nuestro problema  $\min\{f(x) : h(x) = 0, G(x) \preceq 0, x \in \mathbb{R}^n\}$ :

$$\begin{aligned} LP(x_k) : \quad & \min_{d \in \mathbb{R}^n} \quad \sum_{i=1}^{|J_G^+|} \lambda_i (G(x_k) + DG(x_k)d) \\ & + \sigma \sum_{j \in J} \|h_j(x_k) + Dh_j(x_k)d\|^2 \\ \text{s.a} \quad & h_j(x_k) + Dh_j(x_k)d = 0, j \in J^* \\ & E^T (G(x_k) + DG(x_k)d)E \preceq 0 \end{aligned} \tag{12}$$



# Restauración inexacta

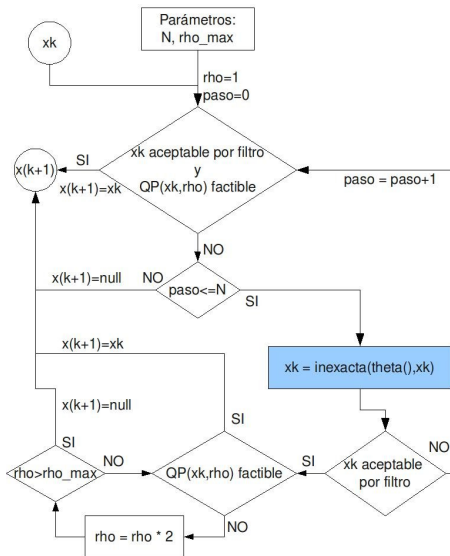
- Método desarrollado en [SM08] para programación no lineal, que utiliza 2 fases: factibilidad y optimalidad.
- Etapa de factibilidad entrega una **dirección de descenso para  $\theta(x)$** .
- Se adaptó la etapa de factibilidad para nuestro problema  $\min\{f(x) : h(x) = 0, G(x) \preceq 0, x \in \mathbb{R}^n\}$ :

$$\begin{aligned} LP(x_k) : \quad & \min_{d \in \mathbb{R}^n} \quad \sum_{i=1}^{|J_G^+|} \lambda_i (G(x_k) + DG(x_k)d) \\ & + \sigma \sum_{j \in J} \|h_j(x_k) + Dh_j(x_k)d\|^2 \\ \text{s.a} \quad & h_j(x_k) + Dh_j(x_k)d = 0, j \in J^* \\ & E^T (G(x_k) + DG(x_k)d) E \preceq 0 \end{aligned} \tag{12}$$

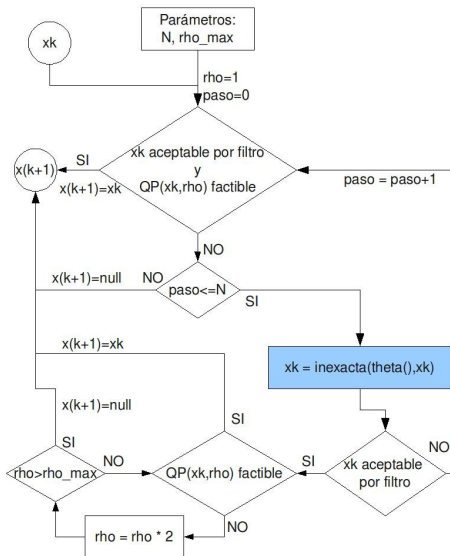
- Este método entrega como resultado un punto  $z_k = x_k + \alpha d$ , con  $d$  solución de  $LP(x_k)$  y  $\alpha$  el paso de descenso (backtracking), y se interpreta como un punto **suficientemente más factible** que  $x_k$  de tal manera que es aceptable por el filtro.



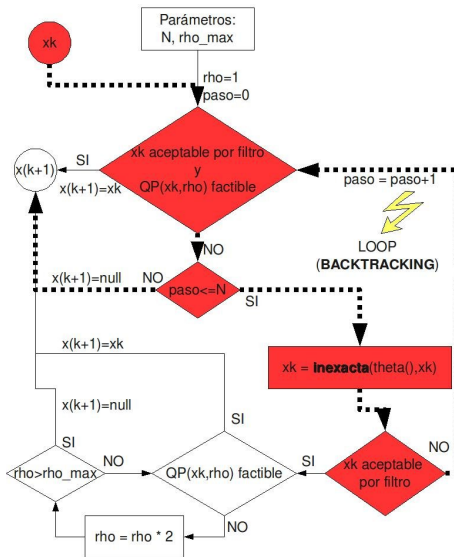
# Restauración inexacta [▶ Ir a pseudocódigo](#)



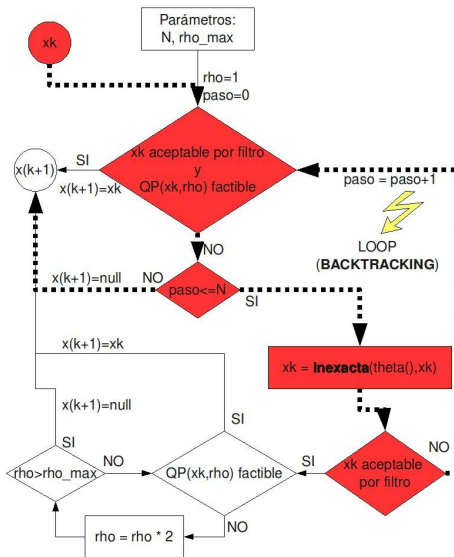
# Restauración inexacta [▶ Ir a pseudocódigo](#)



# Restauración inexacta [▶ Ir a pseudocódigo](#)



# Restauración inexacta [▶ Ir a pseudocódigo](#)





# Soluciones suboptimales SOF

---



# Soluciones suboptimales SOF

---

- En los 2 métodos anteriores se puede caer en una situación de loop que desencadena la detención del algoritmo (fallo en la fase de restauración).



# Soluciones suboptimales SOF

---

- En los 2 métodos anteriores se puede caer en una situación de loop que desencadena la detención del algoritmo (**fallo en la fase de restauración**).
- Se decidió investigar **métodos para generar soluciones suboptimales** asociadas al problema aplicado que se intenta resolver (diseño de controles SOF). Esas soluciones se usarán como **puntos iniciales en la fase de restauración** (se espera que hayan más puntos aceptables por el filtro).



# Soluciones subóptimas SOF

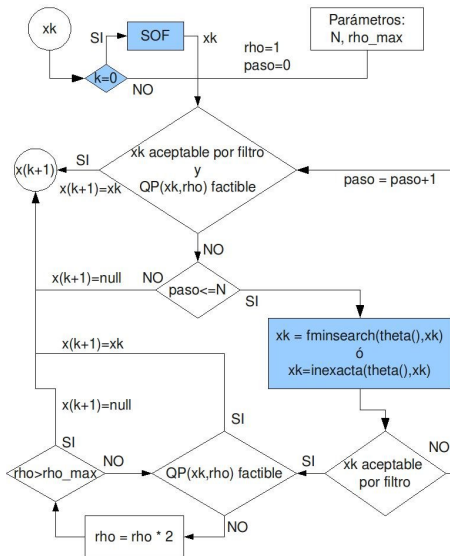
---

- En los 2 métodos anteriores se puede caer en una situación de loop que desencadena la detención del algoritmo (**fallo en la fase de restauración**).
- Se decidió investigar **métodos para generar soluciones subóptimas** asociadas al problema aplicado que se intenta resolver (diseño de controles SOF). Esas soluciones se usarán como **puntos iniciales en la fase de restauración** (se espera que hayan más puntos aceptables por el filtro).
- En [Mos08] se describen métodos para generar soluciones subóptimas para una aplicación simplificada de diseño de controles SOF.



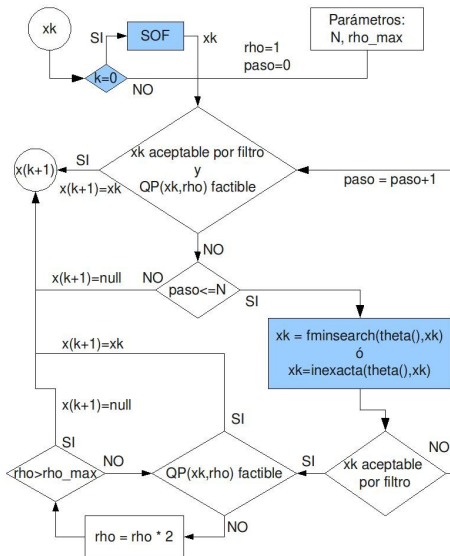
# Soluciones suboptimales SOF

► Ir a pseudocódigo



# Soluciones suboptimales SOF

► Ir a pseudocódigo



# Posicionamiento de polos

---



# Posicionamiento de polos

---

- Consiste en un *upgrade* del método de soluciones optimales SOF.





# Posicionamiento de polos

---

- Consiste en un *upgrade* del método de soluciones optimales SOF.
- Utiliza una rutina descrita en [YO07] que permite encontrar una matriz  $F$  dado un vector de valores propios  $\lambda^D$  de tal forma que  $\lambda(A + BFC) = \lambda^D$ .



# Posicionamiento de polos

---

- Consiste en un *upgrade* del método de soluciones optimales SOF.
- Utiliza una rutina descrita en [YO07] que permite encontrar una matriz  $F$  dado un vector de valores propios  $\lambda^D$  de tal forma que  $\lambda(A + BFC) = \lambda^D$ .
- Con esto se pueden generar una serie de nuevos puntos de partida para el algoritmo.



# Posicionamiento de polos

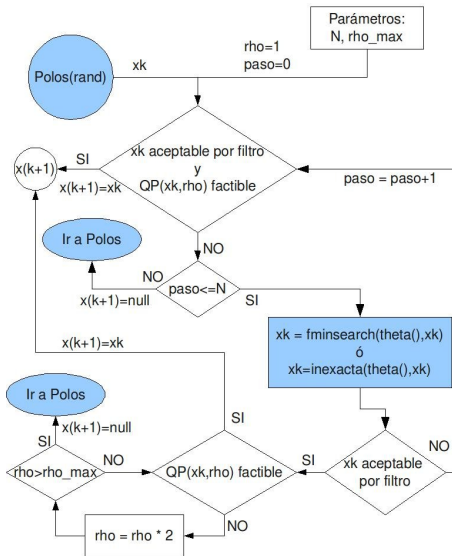
---

- Consiste en un *upgrade* del método de soluciones óptimas SOF.
- Utiliza una rutina descrita en [YO07] que permite encontrar una matriz  $F$  dado un vector de valores propios  $\lambda^D$  de tal forma que  $\lambda(A + BFC) = \lambda^D$ .
- Con esto se pueden generar una serie de nuevos puntos de partida para el algoritmo.
- En caso de que falle la fase de restauración, se genera un nuevo punto  $x_k$  y se pasa como input nuevamente a esta fase, el número de veces que se defina.



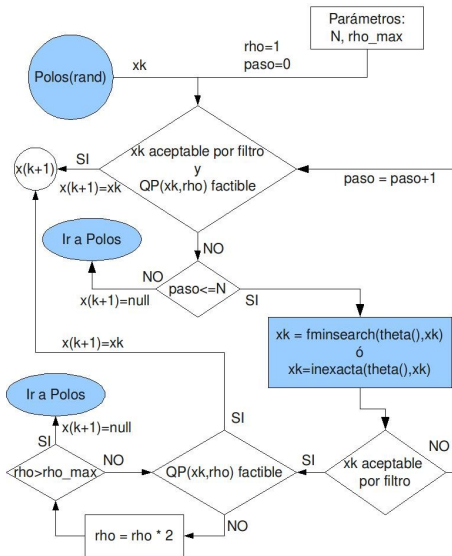
# Posicionamiento de polos

► Ir a pseudocódigo



# Posicionamiento de polos

► Ir a pseudocódigo



# Esquema

---

## Introducción

## Antecedentes

Programación semidefinida lineal (SDP)

Filter-SDP

Computación paralela

## Trabajo realizado

Estudio de sistemas de cálculo paralelo

Implementación en C: `fnlsdp`

Diseño de distintas fases de restauración

## Resultados numéricos

## Conclusiones

## Trabajo futuro



# Resultados

---

- Comparación `fnlsdp` e implementación MATLAB
- Speedup de `fnlsdp`
- Comparación de fases de restauración



## Resultados: fnlsdp vs. MATLAB

---

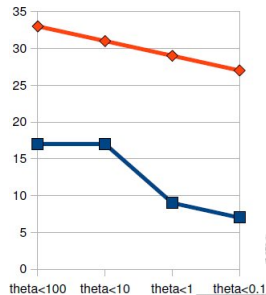
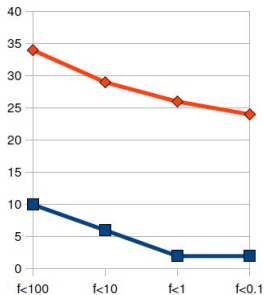
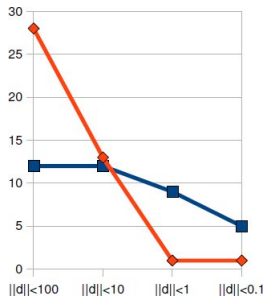
- 54 problemas  $((A, B)$ -controlables y  $(A, C)$ -observables).
- Igual fase de restauración (enfoque original, distintas implementaciones).
- Igual punto inicial  $(F_0, Q_0, V_0)$  (generado por método de posicionamiento de polos).
- $\epsilon_{TOL} = 10^{-4}$





## Resultados: **fnlsdp** vs. **MATLAB**

Eje Y: número de problemas que satisfacen  $\|d\| < U$  (izquierda),  $f(x) < U$  (centro) y  $\theta(x) < U$  (derecha).



## Resultados: speedup

---

- $\text{Speedup} = \frac{t_{\text{paralelo}}}{t_{\text{secuencial}}}$  (mientras más pequeño, mejor).
- Se escogieron los tests de tamaño *grande* cuyo tiempo de ejecución fuera mayor a 100 segundos (4 de 54 problemas).
- Se realizaron pruebas de speedup para las componentes paralelizadas, de manera independiente (resolución de  $QP(x, \rho)$  y cálculo de  $\theta(x)$ ).
- Cluster 1e100: 4 servidores con 8 procesadores c/u. Sólo se utilizó 1 servidor, pues no están conectados por una red ad-hoc (disminuye la velocidad de transferencia de mensajes y perturba las mediciones).



## Resultados: speedup fnlsdp

---

Tiempos de ejecución de fnlsdp:

| Problema | 1 proceso | 2 procesos | 4 procesos | 8 procesos |
|----------|-----------|------------|------------|------------|
| HE4      | 102.62    | 100.97     | 119.42     | 1153.21    |
| HE5      | 138.33    | 222.38     | 248.03     | 858.92     |
| BDT1     | 234.70    | 211.07     | 187.33     | 436.45     |
| ROC8     | 795.10    | 814.02     | 653.07     | 2095.69    |

Speedup de fnlsdp:

| Problema | 1 proceso | 2 procesos | 4 procesos | 8 procesos |
|----------|-----------|------------|------------|------------|
| HE1      | 1         | 0.98       | 1.16       | 11.24      |
| HE5      | 1         | 1.61       | 1.79       | 6.21       |
| BDT1     | 1         | 0.89       | 0.79       | 1.86       |
| ROC8     | 1         | 1.02       | 0.82       | 2.63       |



## Resultados: resolución de $QP(x, \rho)$

---

Speedup de PCSDP:

| Problema  | $m$  | $n$  | 1 proceso | 2 procesos | 4 procesos | 8 procesos |
|-----------|------|------|-----------|------------|------------|------------|
| truss4    | 12   | 19   | 1         | 7.66       | 8.1        | 9.71       |
| truss3    | 27   | 31   | 1         | 6.58       | 6.9        | 13.83      |
| qap5      | 136  | 26   | 1         | 5.55       | 5.65       | 6.27       |
| gpp124-1  | 125  | 124  | 1         | 2.52       | 2.56       | 4.33       |
| arch0     | 174  | 335  | 1         | 0.93       | 0.81       | 1.39       |
| gpp250-1  | 250  | 250  | 1         | 4.27       | 1.43       | 1.33       |
| gpp500-1  | 501  | 500  | 1         | 2.5        | 0.75       | 1.37       |
| equalG11  | 801  | 801  | 1         | 0.78       | 0.85       | 0.82       |
| qap10     | 1021 | 101  | 1         | 1.02       | 0.84       | 0.84       |
| control10 | 1326 | 150  | 1         | 0.7        | 0.53       | 0.64       |
| qpG51     | 1000 | 2000 | 1         | 1.04       | 1          | 1.49       |



## Resultados: cálculo de $\theta(x)$

---

Speedup de PDSYEVX:

| Problema | Dimensión | 1 proceso | 2 procesos | 4 procesos | 8 procesos |
|----------|-----------|-----------|------------|------------|------------|
| sherman1 | 1000      | 1         | 2.16       | 2.09       | 2.25       |
| lshp1009 | 1009      | 1         | 2.38       | 2.3        | 3.91       |
| rajat02  | 1960      | 1         | 0.77       | 0.52       | 0.73       |
| ex14     | 3251      | 1         | 0.61       | 0.4        | 0.41       |
| c-26     | 4307      | 1         | 0.6        | 0.43       | 0.46       |
| c-30     | 5321      | 1         | 0.64       | 0.47       | 0.48       |
| bcsstk17 | 10974     | 1         | 0.63       | 0.45       | 0.54       |



# Resultados: fases de restauración

---

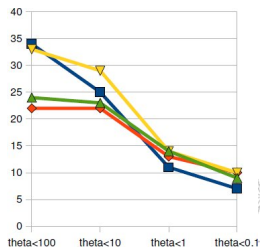
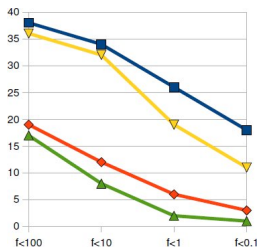
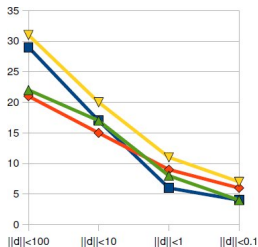
- Se compararon 4 métodos:
  1. Enfoque original + SOF
  2. Enfoque original + posicionamiento de polos
  3. Restauración inexacta + SOF
  4. Restauración inexacta + posicionamiento de polos
- Se escogió la batería de 54 problemas utilizada anteriormente.



# Resultados: fases de restauración

Eje Y: número de problemas que satisfacen  $\|d\| < U$  (izquierda),  $f(x) < U$  (centro) y  $\theta(x) < U$  (derecha).

método 1, método 2, método 3, método 4



# Esquema

---

## Introducción

## Antecedentes

Programación semidefinida lineal (SDP)

Filter-SDP

Computación paralela

## Trabajo realizado

Estudio de sistemas de cálculo paralelo

Implementación en C: `fnlsdp`

Diseño de distintas fases de restauración

## Resultados numéricos

## Conclusiones

## Trabajo futuro





# Conclusiones

---

---

<sup>a</sup>Enfoque original + SOF subóptimales

<sup>b</sup>Restauración inexacta + posicionamiento de polos



# Conclusiones

---

- Implementación C:

---

<sup>a</sup>Enfoque original + SOF subóptimales

<sup>b</sup>Restauración inexacta + posicionamiento de polos



# Conclusiones

---

- Implementación C:
  - Mejores resultados que la implementación desarrollada en MATLAB en términos del valor de la función objetivo y de mérito, sin embargo no se puede asegurar nada con respecto a la terminación del algoritmo, pues sólo en 1 caso se llegó a una solución donde  $\|dx\| \approx 0$ .

---

<sup>a</sup>Enfoque original + SOF subóptimales

<sup>b</sup>Restauración inexacta + posicionamiento de polos



# Conclusiones

---

- Implementación C:
  - Mejores resultados que la implementación desarrollada en MATLAB en términos del valor de la función objetivo y de mérito, sin embargo no se puede asegurar nada con respecto a la terminación del algoritmo, pues sólo en 1 caso se llegó a una solución donde  $\|dx\| \approx 0$ .
  - La utilización de cálculo paralelo tiene utilidad sólo si el problema es de grandes dimensiones. Se logró obtener un speedup adecuado en pocos casos de prueba.

---

<sup>a</sup>Enfoque original + SOF subóptimales

<sup>b</sup>Restauración inexacta + posicionamiento de polos



# Conclusiones

---

- Implementación C:
  - Mejores resultados que la implementación desarrollada en MATLAB en términos del valor de la función objetivo y de mérito, sin embargo no se puede asegurar nada con respecto a la terminación del algoritmo, pues sólo en 1 caso se llegó a una solución donde  $\|dx\| \approx 0$ .
  - La utilización de cálculo paralelo tiene utilidad sólo si el problema es de grandes dimensiones. Se logró obtener un speedup adecuado en pocos casos de prueba.
- Diseño de fases de restauración:

---

<sup>a</sup>Enfoque original + SOF subóptimales

<sup>b</sup>Restauración inexacta + posicionamiento de polos



# Conclusiones

---

- Implementación C:
  - Mejores resultados que la implementación desarrollada en MATLAB **en términos del valor de la función objetivo y de mérito**, sin embargo no se puede asegurar nada con respecto a la terminación del algoritmo, pues **sólo en 1 caso se llegó a una solución donde  $\|dx\| \approx 0$** .
  - La utilización de cálculo paralelo tiene utilidad **sólo si el problema es de grandes dimensiones**. Se logró obtener un speedup adecuado en pocos casos de prueba.
- Diseño de fases de restauración:
  - Método 1<sup>a</sup> y método 4<sup>b</sup>, entregan los mejores rendimientos estadísticos con respecto a la batería de prueba COMpleib. Sin embargo, el método 1 entrega mejores resultados para la función objetivo.

---

<sup>a</sup> Enfoque original + SOF subóptimales

<sup>b</sup> Restauración inexacta + posicionamiento de polos



# Conclusiones

---

- Implementación C:
  - Mejores resultados que la implementación desarrollada en MATLAB **en términos del valor de la función objetivo y de mérito**, sin embargo no se puede asegurar nada con respecto a la terminación del algoritmo, pues **sólo en 1 caso se llegó a una solución donde  $\|dx\| \approx 0$** .
  - La utilización de cálculo paralelo tiene utilidad **sólo si el problema es de grandes dimensiones**. Se logró obtener un speedup adecuado en pocos casos de prueba.
- Diseño de fases de restauración:
  - Método 1<sup>a</sup> y método 4<sup>b</sup>, entregan los mejores rendimientos estadísticos con respecto a la batería de prueba COMPluib. Sin embargo, el método 1 entrega mejores resultados para la función objetivo.
  - En varios casos, un método encontró una solución (subóptimal) y los otros no. Conviene tener varias fases de restauración activas **simultáneamente**.

---

<sup>a</sup> Enfoque original + SOF subóptimales

<sup>b</sup> Restauración inexacta + posicionamiento de polos



# Esquema

---

## Introducción

## Antecedentes

Programación semidefinida lineal (SDP)

Filter-SDP

Computación paralela

## Trabajo realizado

Estudio de sistemas de cálculo paralelo

Implementación en C: `fnlsdp`

Diseño de distintas fases de restauración

## Resultados numéricos

## Conclusiones

## Trabajo futuro





# Trabajo futuro

---



# Trabajo futuro

---

- Implementación de una fase de restauración en C que garantice la convergencia y buen funcionamiento de la aplicación `fnlsdp`.



# Trabajo futuro

---

- Implementación de una fase de restauración en C que garantice la convergencia y buen funcionamiento de la aplicación `fnlsdp`.
- Diseño de otras fases de restauración, o modificación de las ya existentes.



# Trabajo futuro

---

- Implementación de una fase de restauración en C que garantice la convergencia y buen funcionamiento de la aplicación `fnlsdp`.
- Diseño de otras fases de restauración, o modificación de las ya existentes.
- Depuración de la aplicación `fnlsdp` para generar resultados utilizando problemas más grandes y verificar el speedup obtenido.



# Trabajo futuro

---

- Implementación de una fase de restauración en C que garantice la convergencia y buen funcionamiento de la aplicación `fnlsdp`.
- Diseño de otras fases de restauración, o modificación de las ya existentes.
- Depuración de la aplicación `fnlsdp` para generar resultados utilizando problemas más grandes y verificar el speedup obtenido.
- Utilización de distintos solvers de programación semidefinida o distintas formas de calcular valores propios.











¿Preguntas?



# Bibliografía

---

-  B. Borchers, *Csdp, a c library for semidefinite programming*, Optimization Methods and Software **11/12** (1999), 613–623.
-  R. Fletcher, N.I.M. Gould, S. Leyffer, and Ph.L. Toint, *Global convergence of trust region sqp filter algorithms for nonlinear programming*, Tech. report, 99/03, Department of Mathematics, University of Namur, Belgium, 2001.
-  W. Gómez and H. Ramírez, *A filter algorithm for nonlinear semidefinite programming*, Tech. report, Centro de Modelamiento Matemático, 2006.
-  I.D. Ivanov and E. de Klerk, *Parallel implementation of a semidefinite programming solver based on csdp in a distributed memory cluster*, Discussion Paper 2007-20, Tilburg University, Center for Economic Research, 2007.
-  El-S. M.E. Mostafa, *First-order penalty methods for computing suboptimal output feedback controllers*, Appl. and Comput. Math. **7** (2008), no. 1, pp. 66–83.
-  C. Silva and M. Monteiro, *A filter inexact-restoration method for nonlinear programming*, TOP: An Official Journal of the Spanish Society of Statistics and Operations Research **16** (2008), no. 1, 126–146.
-  L. Vandenberghe and S. Boyd, *Semidefinite programming*, SIAM Review **38** (1996), no. 1, pp. 49–95.
-  K. Yang and R. Orsi, *Static output feedback pole placement via a trust region approach*, IEEE Transactions on Automatic Control **52** (2007), no. 11, pp. 2146–2150.



# Apéndice

---

◀ Regresar a Ejemplos SDP

## Propiedad (Complemento de Schur)

Para  $U = \begin{pmatrix} A & B \\ B^T & C \end{pmatrix}$  con  $A, C$  simétricas y  $A \succ 0$ , se tiene que  $U \succeq 0$  sí y sólo sí  $C - B^T A^{-1} B \succeq 0$ . A la matriz  $C - B^T A^{-1} B$  se le llama complemento de Schur de  $A$  en  $U$ .

◀ Regresar a Ejemplos SDP

## Propiedad (Criterio de Sylvester)

$A \succeq 0$  sí y sólo sí todo menor principal (diagonal) de  $A$  (submatriz que se obtiene como resultado de eliminar filas de índices  $I$  y columnas de índices  $J$  a la matriz  $A$ , con  $I = J$ ) es semidefinido positivo.





# Apéndice

---

◀ Regresar a Ejemplos SDP

## Propiedad (Complemento de Schur)

Para  $U = \begin{pmatrix} A & B \\ B^T & C \end{pmatrix}$  con  $A, C$  simétricas y  $A \succ 0$ , se tiene que  $U \succeq 0$  sí y sólo sí  $C - B^T A^{-1} B \succeq 0$ . A la matriz  $C - B^T A^{-1} B$  se le llama complemento de Schur de  $A$  en  $U$ .

◀ Regresar a Ejemplos SDP

## Propiedad (Criterio de Sylvester)

$A \succeq 0$  sí y sólo sí todo menor principal (diagonal) de  $A$  (submatriz que se obtiene como resultado de eliminar filas de índices  $I$  y columnas de índices  $J$  a la matriz  $A$ , con  $I = J$ ) es semidefinido positivo.



- 1: **(INICIALIZACIÓN)**  $k \leftarrow 1$ ,  $\mathcal{F}^0 = \{(u, -\infty)\}$ ,  $d_k \leftarrow \infty^n$ ,  $\beta \in (0, 1)$ ,  $\gamma \in (0, \beta)$ ,  $u > 0$ ,  $\sigma \in (0, 1)$ ,  $\bar{\rho} > 0$ ,  $\rho_{inicial} > \bar{\rho}$ , max.iteraciones  $> 1$ .
- 2: **Mientras**  $k < \text{max.iteraciones}$  **hacer**
- 3:   **(FASE RESTAURACIÓN)** Encontrar  $x_k$  y  $\rho_{inicial} \geq \tilde{\rho} > \bar{\rho}$  tales que:  $(\theta(x_k), f(x_k))$  es aceptable para  $\mathcal{F}^{k-1}$  y  $QP(x_k, \tilde{\rho})$  es factible.
- 4:    $\rho \leftarrow \tilde{\rho}$ .
- 5:   **(PROBLEMA TANGENCIAL)** Resolver  $QP(x_k, \rho)$ .
- 6:   **Si**  $\|d_k\| < +\infty$  ( $QP(x_k, \rho)$  es factible) **entonces**
- 7:     **Si**  $\|d_k\| < \epsilon$  **entonces**
- 8:       Fin del algoritmo. Solución:  $x_k$ .
- 9:     **Fin (Si)**
- 10:    **Si**  $(\theta(x_k + d_k), f(x_k + d_k))$  no es aceptable por  $\mathcal{F}^{k-1} \cup \{(\theta(x_k), f(x_k))\}$  **entonces**
- 11:      $\rho \leftarrow \frac{\rho}{2}$ . Ir a **PROBLEMA TANGENCIAL**.
- 12:    **De lo contrario,**
- 13:     **Si**  $\nabla f(x_k)^T d_k + \frac{1}{2} d_k^T B d_k < 0$  y  $f(x_k) + \sigma(\nabla f(x_k)^T d_k + \frac{1}{2} d_k^T B d_k) < f(x_k + d_k)$  **entonces**
- 14:        $\rho \leftarrow \frac{\rho}{2}$ . Ir a **PROBLEMA TANGENCIAL**.
- 15:     **De lo contrario,**
- 16:       **Si**  $\nabla f(x_k)^T d_k + \frac{1}{2} d_k^T B d_k \geq 0$  **entonces**
- 17:           $\mathcal{F}^k \leftarrow \text{Add}((\theta(x_k), f(x_k)), \mathcal{F}^{k-1})$  Iteración tipo  $\theta$
- 18:       **De lo contrario,**
- 19:           $\mathcal{F}^k \leftarrow \mathcal{F}^{k-1}$  Iteración tipo  $f$
- 20:     **Fin (Si)**
- 21:      $x_{k+1} \leftarrow x_k + d_k$ ,  $k \leftarrow k + 1$ ,  $\rho \leftarrow \rho_{inicial}$ , Ir a **PROBLEMA TANGENCIAL**.
- 22:    **Fin (Si)**
- 23:    **Fin (Si)**
- 24:    **De lo contrario,**
- 25:      $\mathcal{F}^k \leftarrow \text{Add}((\theta(x_k), f(x_k)), \mathcal{F}^{k-1})$  Iteración tipo  $\theta$
- 26:      $k \leftarrow k + 1$ . Ir a **FASE RESTAURACIÓN**.
- 27:    **Fin (Si)**
- 28: **Fin (Mientras)**



- 1: **(INICIALIZACIÓN)**  $k \leftarrow 1$ ,  $\mathcal{F}^0 = \{(u, -\infty)\}$ ,  $d_k \leftarrow \infty^n$ ,  $\beta \in (0, 1)$ ,  $\gamma \in (0, \beta)$ ,  $u > 0$ ,  $\sigma \in (0, 1)$ ,  $\bar{\rho} > 0$ ,  $\rho_{inicial} > \bar{\rho}$ , max.iteraciones  $> 1$ .
- 2: **Mientras**  $k < \text{max.iteraciones}$  **hacer**
- 3:   **(FASE RESTAURACIÓN)** Encontrar  $x_k$  y  $\rho_{inicial} \geq \tilde{\rho} > \bar{\rho}$  tales que:  $(\theta(x_k), f(x_k))$  es aceptable para  $\mathcal{F}^{k-1}$  y  $QP(x_k, \tilde{\rho})$  es factible.
- 4:    $\rho \leftarrow \tilde{\rho}$ .
- 5:   **(PROBLEMA TANGENCIAL)** Resolver  $QP(x_k, \rho)$ .
- 6:   **Si**  $\|d_k\| < +\infty$  ( $QP(x_k, \rho)$  es factible) **entonces**
- 7:     **Si**  $\|d_k\| < \epsilon$  **entonces**
- 8:       Fin del algoritmo. Solución:  $x_k$ .
- 9:     **Fin (Si)**
- 10:    **Si**  $(\theta(x_k + d_k), f(x_k + d_k))$  no es aceptable por  $\mathcal{F}^{k-1} \cup \{(\theta(x_k), f(x_k))\}$  **entonces**
- 11:      $\rho \leftarrow \frac{\rho}{2}$ . Ir a **PROBLEMA TANGENCIAL**.
- 12:    **De lo contrario,**
- 13:     **Si**  $\nabla f(x_k)^T d_k + \frac{1}{2} d_k^T B d_k < 0$  y  $f(x_k) + \sigma(\nabla f(x_k)^T d_k + \frac{1}{2} d_k^T B d_k) < f(x_k + d_k)$  **entonces**
- 14:        $\rho \leftarrow \frac{\rho}{2}$ . Ir a **PROBLEMA TANGENCIAL**.
- 15:     **De lo contrario,**
- 16:       **Si**  $\nabla f(x_k)^T d_k + \frac{1}{2} d_k^T B d_k \geq 0$  **entonces**
- 17:           $\mathcal{F}^k \leftarrow \text{Add}((\theta(x_k), f(x_k)), \mathcal{F}^{k-1})$  Iteración tipo  $\theta$
- 18:       **De lo contrario,**
- 19:           $\mathcal{F}^k \leftarrow \mathcal{F}^{k-1}$  Iteración tipo  $f$
- 20:     **Fin (Si)**
- 21:      $x_{k+1} \leftarrow x_k + d_k$ ,  $k \leftarrow k + 1$ ,  $\rho \leftarrow \rho_{inicial}$ , Ir a **PROBLEMA TANGENCIAL**.
- 22:    **Fin (Si)**
- 23:    **Fin (Si)**
- 24:    **De lo contrario,**
- 25:      $\mathcal{F}^k \leftarrow \text{Add}((\theta(x_k), f(x_k)), \mathcal{F}^{k-1})$  Iteración tipo  $\theta$
- 26:      $k \leftarrow k + 1$ . Ir a **FASE RESTAURACIÓN**.
- 27:    **Fin (Si)**
- 28: **Fin (Mientras)**



# Enfoque original

◀ Regresar a Enfoque original

- 1:  $N \leftarrow$  número de veces que se realiza la búsqueda
- 2:  $\rho_{\max} \leftarrow$  radio máximo de la región de confianza de  $QP(x_k, \rho)$
- 3:  $\rho \leftarrow (0, \rho_{\max})$
- 4:  $x_k \leftarrow$  punto inicial o proveniente de la iteración  $k - 1$
- 5: **Mientras**  $((x_k$  no es aceptable para  $\mathcal{F}_{k-1}) \vee (QP(x_k, \rho)$  no es factible))  
     $\wedge$  paso  $\leq N$  **hacer**
  - 6:  $x_k \leftarrow \text{fminsearch}(\theta(\cdot), x_k)$
  - 7: **Si**  $x_k$  es aceptable para  $\mathcal{F}_{k-1}$  **entonces**
  - 8:     **Mientras**  $(QP(x_k, \rho)$  no es factible)  $\wedge (\rho < \rho_{\max})$  **hacer**
  - 9:          $\rho \leftarrow 2 * \rho$
  - 10:         $d_k \leftarrow QP(x_k, \rho)$  (si  $QP(x_k, \rho)$  no es factible,  $d_k$  queda indefinido)
  - 11:     **Fin (Mientras)**
  - 12: **Fin (Si)**
  - 13:    paso  $\leftarrow$  paso + 1
  - 14: **Fin (Mientras)**



# Enfoque original

◀ Regresar a Enfoque original

- 1:  $N \leftarrow$  número de veces que se realiza la búsqueda
- 2:  $\rho_{\max} \leftarrow$  radio máximo de la región de confianza de  $QP(x_k, \rho)$
- 3:  $\rho \leftarrow (0, \rho_{\max})$
- 4:  $x_k \leftarrow$  punto inicial o proveniente de la iteración  $k - 1$
- 5: **Mientras**  $((x_k \text{ no es aceptable para } \mathcal{F}_{k-1}) \vee (QP(x_k, \rho) \text{ no es factible}))$   
     $\wedge \text{ paso} \leq N$  **hacer**
  - 6:  $x_k \leftarrow \text{fminsearch}(\theta(\cdot), x_k)$
  - 7: **Si**  $x_k$  es aceptable para  $\mathcal{F}_{k-1}$  **entonces**
  - 8:     **Mientras**  $(QP(x_k, \rho) \text{ no es factible}) \wedge (\rho < \rho_{\max})$  **hacer**
  - 9:          $\rho \leftarrow 2 * \rho$
  - 10:         $d_k \leftarrow QP(x_k, \rho)$  (si  $QP(x_k, \rho)$  no es factible,  $d_k$  queda indefinido)
  - 11:     **Fin (Mientras)**
  - 12: **Fin (Si)**
  - 13:     paso  $\leftarrow$  paso + 1
  - 14: **Fin (Mientras)**



# Restauración inexacta

◀ Regresar a R. inexacta

- 1: INPUT:  $x_k, \mathcal{F}_{k-1}, \beta, \gamma$
- 2:  $\alpha \leftarrow \pm 1$  (elegir el signo del descenso)
- 3:  $ac \leftarrow 0$
- 4:  $\epsilon \leftarrow 10^{-4}$
- 5: Contruir problema:

$$\begin{array}{llll}
 \min_{t_1, t_2, s \in \mathbb{R}, d \in \mathbb{R}^n, Z \in \mathbb{S}^n} & t_1 + \sigma t_2 & & \\
 \text{s.a} & h_j(x_k) + Dh_j(x_k)d & = & 0, j \in J^* \\
 & E^T(G(x_k) + DG(x_k)d)E & \preceq & 0 \\
 & t_1 - rs - \text{Tr}(Z) & \succeq & 0 \\
 & Z - (G(x_k) + DG(x_k)d) + sI & \preceq & 0 \\
 & t_2 - \|(h_j(x_k) + Dh_j(x_k)d)_{j \in J}\| & \succeq & 0 \\
 & Z & \preceq & 0
 \end{array} \tag{13}$$

para el punto  $x_k$ .

- 6: Obtener  $d$  solución de (13).
- 7: **Mientras**  $ac = 0 \wedge |\alpha| \geq \epsilon$  **hacer**
- 8:      $z = x_k + \alpha d$
- 9:     **Si**  $z$  es aceptable por  $\mathcal{F}_{k-1} \wedge \theta(x_k) > \theta(z)$  **entonces**
- 10:          $ac \leftarrow 1$
- 11:     **De lo contrario,**



# Restauración inexacta

◀ Regresar a R. inexacta

- 1: INPUT:  $x_k, \mathcal{F}_{k-1}, \beta, \gamma$
- 2:  $\alpha \leftarrow \pm 1$  (elegir el signo del descenso)
- 3:  $ac \leftarrow 0$
- 4:  $\epsilon \leftarrow 10^{-4}$
- 5: Contruir problema:

$$\begin{array}{llll}
 \min_{t_1, t_2, s \in \mathbb{R}, d \in \mathbb{R}^n, Z \in \mathbb{S}^n} & t_1 + \sigma t_2 & & \\
 \text{s.a} & h_j(x_k) + Dh_j(x_k)d & = & 0, j \in J^* \\
 & E^T(G(x_k) + DG(x_k)d)E & \preceq & 0 \\
 & t_1 - rs - \text{Tr}(Z) & \succeq & 0 \\
 & Z - (G(x_k) + DG(x_k)d) + sI & \preceq & 0 \\
 & t_2 - \|(h_j(x_k) + Dh_j(x_k)d)_{j \in J}\| & \succeq & 0 \\
 & Z & \preceq & 0
 \end{array} \tag{13}$$

para el punto  $x_k$ .

- 6: Obtener  $d$  solución de (13).
- 7: **Mientras**  $ac = 0 \wedge |\alpha| \geq \epsilon$  **hacer**
- 8:      $z = x_k + \alpha d$
- 9:     **Si**  $z$  es aceptable por  $\mathcal{F}_{k-1} \wedge \theta(x_k) > \theta(z)$  **entonces**
- 10:          $ac \leftarrow 1$
- 11:     **De lo contrario,**



# Soluciones suboptimales SOF

◀ Regresar a SOF

- 1:  $N \leftarrow$  número de veces que se realiza la búsqueda
- 2:  $\rho_{\max} \leftarrow$  radio máximo de la región de confianza de  $QP(x_k, \rho)$
- 3:  $\rho \leftarrow (0, \rho_{\max})$
- 4: **Si**  $k = 0$  **entonces**
- 5:    $x_k \leftarrow \text{sof}$
- 6: **De lo contrario,**
- 7:    $x_k \leftarrow$  punto inicial o proveniente de la iteración  $k - 1$
- 8: **Fin (Si)**
- 9: **Mientras**  $((x_k \text{ no es aceptable para } \mathcal{F}_{k-1}) \vee (QP(x_k, \rho) \text{ no es factible}))$   
   $\wedge \text{ paso} \leq N$  **hacer**
- 10:    $x_k \leftarrow \text{fminsearch}(\theta(\cdot), x_k)$  ó  $x_k \leftarrow \text{lsdp}(\theta(\cdot), x_k, \mathcal{F}_k, \beta, \gamma)$
- 11:   **Si**  $x_k$  es aceptable para  $\mathcal{F}_{k-1}$  **entonces**
- 12:     **Mientras**  $(QP(x_k, \rho) \text{ no es factible}) \wedge (\rho < \rho_{\max})$  **hacer**
- 13:        $\rho \leftarrow 2 * \rho$
- 14:        $d_k \leftarrow QP(x_k, \rho)$  (si  $QP(x_k, \rho)$  no es factible,  $d_k$  queda indefinido)
- 15:     **Fin (Mientras)**
- 16:   **Fin (Si)**
- 17:   paso  $\leftarrow$  paso + 1
- 18: **Fin (Mientras)**





# Soluciones suboptimales SOF

◀ Regresar a SOF

- 1:  $N \leftarrow$  número de veces que se realiza la búsqueda
- 2:  $\rho_{\max} \leftarrow$  radio máximo de la región de confianza de  $QP(x_k, \rho)$
- 3:  $\rho \leftarrow (0, \rho_{\max})$
- 4: **Si**  $k = 0$  **entonces**
- 5:    $x_k \leftarrow \text{sof}$
- 6: **De lo contrario,**
- 7:    $x_k \leftarrow$  punto inicial o proveniente de la iteración  $k - 1$
- 8: **Fin (Si)**
- 9: **Mientras**  $((x_k \text{ no es aceptable para } \mathcal{F}_{k-1}) \vee (QP(x_k, \rho) \text{ no es factible}))$   
   $\wedge \text{ paso} \leq N$  **hacer**
- 10:    $x_k \leftarrow \text{fminsearch}(\theta(\cdot), x_k)$  ó  $x_k \leftarrow \text{lsdp}(\theta(\cdot), x_k, \mathcal{F}_k, \beta, \gamma)$
- 11:   **Si**  $x_k$  es aceptable para  $\mathcal{F}_{k-1}$  **entonces**
- 12:     **Mientras**  $(QP(x_k, \rho) \text{ no es factible}) \wedge (\rho < \rho_{\max})$  **hacer**
- 13:       $\rho \leftarrow 2 * \rho$
- 14:       $d_k \leftarrow QP(x_k, \rho)$  (si  $QP(x_k, \rho)$  no es factible,  $d_k$  queda indefinido)
- 15:     **Fin (Mientras)**
- 16:   **Fin (Si)**
- 17:   paso  $\leftarrow$  paso + 1
- 18: **Fin (Mientras)**



# Posicionamiento de polos

◀ Regresar a Polos

- 1:  $N \leftarrow$  número de veces que se realiza la búsqueda
- 2:  $\rho_{\max} \leftarrow$  radio máximo de la región de confianza de  $QP(x_k, \rho)$
- 3:  $\rho \leftarrow (0, \rho_{\max})$
- 4: **Si**  $k = 0$  **entonces**
- 5:    $x_k \leftarrow \text{polos}(k)$
- 6: **De lo contrario,**
- 7:    $x_k \leftarrow$  punto inicial o proveniente de la iteración  $k - 1$
- 8: **Fin (Si)**
- 9: **Mientras**  $((x_k \text{ no es aceptable para } \mathcal{F}_{k-1}) \vee (QP(x_k, \rho) \text{ no es factible}))$   
   $\wedge \text{ paso} \leq N$  **hacer**
- 10:    $x_k \leftarrow \text{fminsearch}(\theta(\cdot), x_k)$  ó  $x_k \leftarrow \text{lsdp}(\theta(\cdot), x_k, \mathcal{F}_k, \beta, \gamma)$
- 11:   **Si**  $x_k$  es aceptable para  $\mathcal{F}_{k-1}$  **entonces**
- 12:     **Mientras**  $(QP(x_k, \rho) \text{ no es factible}) \wedge (\rho < \rho_{\max})$  **hacer**
- 13:        $\rho \leftarrow 2 * \rho$
- 14:        $d_k \leftarrow QP(x_k, \rho)$  (si  $QP(x_k, \rho)$  no es factible,  $d_k$  queda indefinido)
- 15:     **Fin (Mientras)**
- 16:   **Fin (Si)**
- 17:    $\text{paso} \leftarrow \text{paso} + 1$
- 18: **Fin (Mientras)**
- 19: **Si**  $\text{paso} > N$  **entonces**



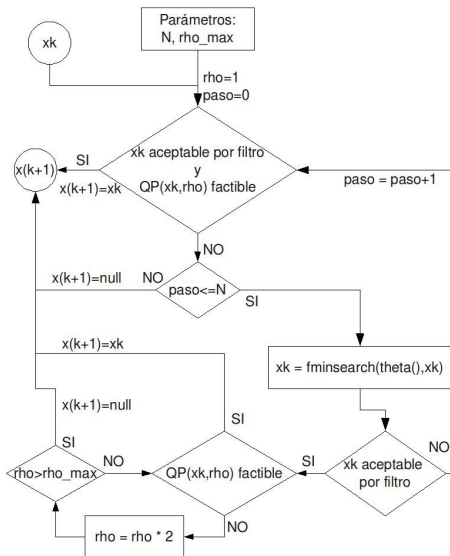
# Posicionamiento de polos

◀ Regresar a Polos

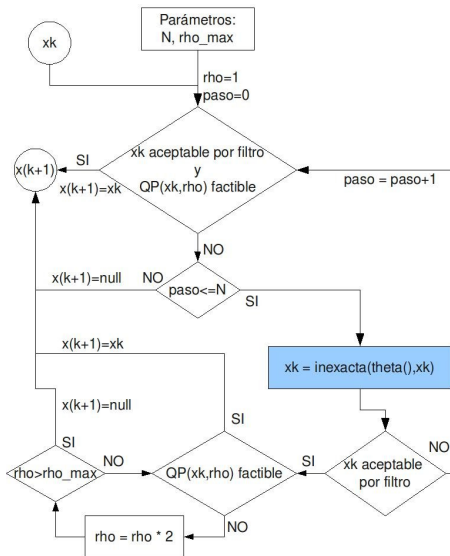
- 1:  $N \leftarrow$  número de veces que se realiza la búsqueda
- 2:  $\rho_{\max} \leftarrow$  radio máximo de la región de confianza de  $QP(x_k, \rho)$
- 3:  $\rho \leftarrow (0, \rho_{\max})$
- 4: **Si**  $k = 0$  **entonces**
- 5:    $x_k \leftarrow \text{polos}(k)$
- 6: **De lo contrario,**
- 7:    $x_k \leftarrow$  punto inicial o proveniente de la iteración  $k - 1$
- 8: **Fin (Si)**
- 9: **Mientras**  $((x_k \text{ no es aceptable para } \mathcal{F}_{k-1}) \vee (QP(x_k, \rho) \text{ no es factible}))$   
   $\wedge \text{ paso} \leq N$  **hacer**
- 10:    $x_k \leftarrow \text{fminsearch}(\theta(\cdot), x_k)$  ó  $x_k \leftarrow \text{lsdp}(\theta(\cdot), x_k, \mathcal{F}_k, \beta, \gamma)$
- 11:   **Si**  $x_k$  es aceptable para  $\mathcal{F}_{k-1}$  **entonces**
- 12:     **Mientras**  $(QP(x_k, \rho) \text{ no es factible}) \wedge (\rho < \rho_{\max})$  **hacer**
- 13:        $\rho \leftarrow 2 * \rho$
- 14:        $d_k \leftarrow QP(x_k, \rho)$  (si  $QP(x_k, \rho)$  no es factible,  $d_k$  queda indefinido)
- 15:     **Fin (Mientras)**
- 16:   **Fin (Si)**
- 17:    $\text{paso} \leftarrow \text{paso} + 1$
- 18: **Fin (Mientras)**
- 19: **Si**  $\text{paso} > N$  **entonces**



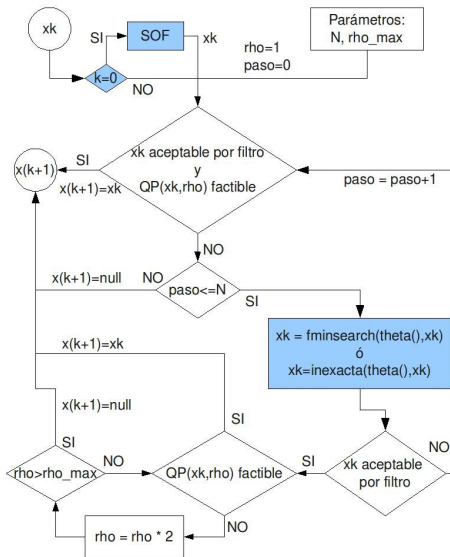
# Enfoque original



# Restauración inexacta



# Soluciones suboptimales SOF



# Posicionamiento de polos

